

## ИЗГИБ УПРУГОПЛАСТИЧЕСКОЙ ПРЯМОУГОЛЬНОЙ ТРЕХСЛОЙНОЙ ПЛАСТИНЫ СО СЖИМАЕМЫМ ЗАПОЛНИТЕЛЕМ В ТЕМПЕРАТУРНОМ ПОЛЕ

<sup>1</sup>Зеленая А.С.

<sup>1</sup>Белорусский государственный университет транспорта, Гомель

**Введение.** Исследование деформаций изгиба трехслойных конструкций на сегодняшний день является достаточно актуальным в связи с широким распространением в промышленности, строительстве, машиностроении. Спрос на них объясняется тем, что трехслойные конструкции отличаются малым весом, но в то же время обладают высокой прочностью и жесткостью.

Колебания круглых трехслойных пластин под действием различных типов поверхностных нагрузок рассмотрены в статье [1]. Исследование круговых трехслойных пластин при действии импульсных локальных нагружений приведено в работе [2]. В статье [3] рассмотрен термоупругий изгиб трехслойной кольцевой пластины на упругом основании. Колебания круговых трехслойных пластин на упругом основании и основании Пастернака рассмотрено в работах [4]–[5]. В статье [6] исследовано деформирование трехслойного упругого стержня локальными нагрузками.

Здесь выполнена постановка и решение задачи о статическом деформировании физически нелинейной прямоугольной трехслойной пластины в температурном поле, получены уравнения равновесия в усилиях и перемещениях.

**Постановка задачи.** Рассматривается изгиб несимметричной по толщине трехслойной пластины со сжимаемым наполнителем, несущие слои которой выполнены из упругопластического материала, а наполнитель – нелинейно упругий. Для изотропных несущих слоев приняты гипотезы Кирхгофа. В жестком наполнителе справедливы точные соотношения теории упругости с линейной аппроксимацией перемещений его точек от поперечной координаты  $z$ . На границах контакта перемещения непрерывны. Материалы несущих слоев несжимаемы в поперечном и продольном направлении, в наполнителе учитывается обжатие. Деформации малые. Система координат  $x, y, z$  связывается со срединной плоскостью наполнителя (рис. 1). Предположим, что в начальный момент времени на трехслойную пластину со сжимаемым наполнителем, находящуюся в естественном состоянии, начинают действовать внешняя распределенная нагрузка  $q$ , проекции которой на координатные оси:  $q(x, y)$ ,  $p_x(x, y)$ ,  $p_y(x, y)$ , и тепловой поток интенсивностью  $q_t$ , направленный перпендикулярно первому несущему слою.

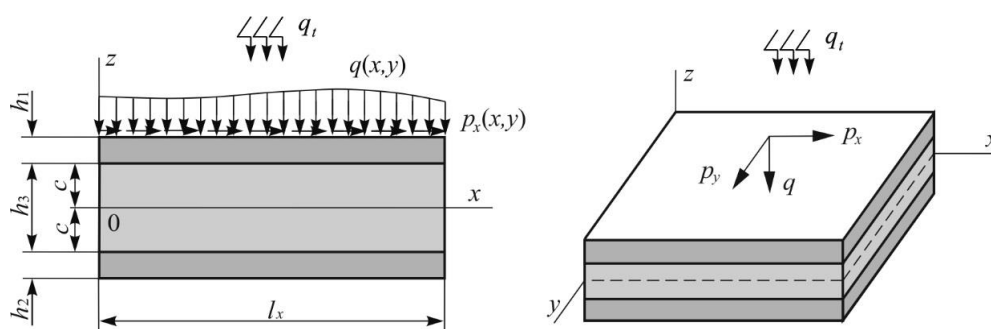


Рис. 1. Расчетная схема

В слоях пластины используются физические уравнения состояния, соответствующие теории малых упругопластических деформаций с учетом температуры:

$$s_{ij}^{(k)} = 2G_k(T_k) \left(1 - \omega^{(k)}(\varepsilon_u^{(k)}, T_k)\right) \varepsilon_{ij}^{(k)},$$

$$\sigma^{(k)} = 3K_k(T_k) (\varepsilon^{(k)} - \alpha_{0k} \Delta T_k) \quad (i, j = x, y, z, k = 1, 2, 3), \quad (1)$$

где  $s_{ij}^{(k)}$ ,  $\sigma^{(k)}$  – девиаторная и шаровая части тензора напряжений;  
 $\varepsilon_{ij}^{(k)}$ ,  $\varepsilon^{(k)}$  – девиаторная и шаровая части тензора деформаций;  
 $\varepsilon_u^{(k)}$  – интенсивность деформации в  $k$ -м слое;  $\omega^{(k)}(\varepsilon_u^{(k)}, T_k)$  – функции пластичности Ильюшина в несущих слоях, которые в случае  $\varepsilon_u^{(k)} \leq \varepsilon_T^{(k)} \omega^{(k)}(T_k)$  равны нулю;  
 $\varepsilon_T^{(k)}(T_k)$  – предел текучести материала;  
 $\omega^{(3)}(\varepsilon_u^{(3)}, T_k)$  – универсальная функция, описывающая физическую нелинейность материала заполнителя, равная нулю при  $\varepsilon_u^{(3)} \leq \varepsilon_s^{(3)}(T_k)$ ;  
 $\varepsilon_s^{(3)}(T_k)$  – предел физической нелинейности заполнителя;  
 $G_k(T_k)$ ,  $K_k(T_k)$  – температурно-зависимые модули упругости материалов слоев;  
 $\alpha_{0k}$  – коэффициент линейного температурного удлинения;  
 $\Delta T_k$  – приращение температуры, отсчитываемое от некоторого начального значения  $T_0$ .

Исходя из соотношений (1) выделим в тензоре напряжений упругие (с индексом «0») и нелинейные (с индексом « $\omega$ ») слагаемые, которые будут включать температурные добавки:

$$\sigma_{ij}^{(k)} = \sigma_{ij}^{(k)0} - \sigma_{ij}^{(k)\omega}, \quad \sigma_{ij}^{(k)0} = 2G_k(T_k) \varepsilon_{ij}^{(k)} + 3K_k(T_k) \varepsilon^{(k)} \delta_{ij},$$

$$\sigma_{ij}^{(k)\omega} = 2G_k(T_k) \omega^{(k)} \varepsilon_{ij}^{(k)} + 3K_k(T_k) \alpha_{0k} \Delta T_k. \quad (2)$$

Для рассматриваемой пластины получим:

- в несущих слоях ( $k = 1, 2$ )

$$\sigma_{xx}^{(k)} = \sigma_{xx}^{(k)0} - \sigma_{xx}^{(k)\omega},$$

$$\sigma_{xx}^{(k)0} = 2G_k(T_k) \varepsilon_{xx}^{(k)} + 3K_k(T_k) \varepsilon^{(k)} = K_k^+(T_k) \varepsilon_{xx}^{(k)} + K_k^-(T_k) \varepsilon_{yy}^{(k)},$$

$$\sigma_{xx}^{(k)\omega} = 2G_k(T_k) \varepsilon_{xx}^{(k)} \omega^{(k)} + 3K_k(T_k) \alpha_{0k} \Delta T_k = \frac{2}{3} G_k(T_k) (2\varepsilon_{xx}^{(k)} - \varepsilon_{yy}^{(k)}) \omega^{(k)} + 3K_k(T_k) \alpha_{0k} \Delta T_k,$$

$$\sigma_{yy}^{(k)} = \sigma_{yy}^{(k)0} - \sigma_{yy}^{(k)\omega},$$

$$\sigma_{yy}^{(k)0} = 2G_k(T_k) \varepsilon_{yy}^{(k)} + 3K_k(T_k) \varepsilon^{(k)} = K_k^+(T_k) \varepsilon_{yy}^{(k)} + K_k^-(T_k) \varepsilon_{xx}^{(k)},$$

$$\sigma_{yy}^{(k)\omega} = 2G_k(T_k) \varepsilon_{yy}^{(k)} \omega^{(k)} + 3K_k(T_k) \alpha_{0k} \Delta T_k = \frac{2}{3} G_k(T_k) (2\varepsilon_{yy}^{(k)} - \varepsilon_{xx}^{(k)}) \omega^{(k)} + 3K_k(T_k) \alpha_{0k} \Delta T_k,$$

$$\sigma_{xy}^{(k)} = \sigma_{xy}^{(k)0} - \sigma_{xy}^{(k)\omega}, \quad \sigma_{xy}^{(k)0} = 2G_k(T_k) \varepsilon_{xy}^{(k)} = 2G_k(T_k) \varepsilon_{xy}^{(k)},$$

$$\sigma_{xy}^{(k)\omega} = 2G_k(T_k) \varepsilon_{xy}^{(k)} \omega^{(k)} = 2G_k(T_k) \varepsilon_{xy}^{(k)} \omega^{(k)};$$

- в заполнителе

$$\sigma_{xx}^{(3)} = \sigma_{xx}^{(3)0} - \sigma_{xx}^{(3)\omega},$$

$$\sigma_{xx}^{(3)0} = 2G_3(T_3) \varepsilon_{xx}^{(3)} + 3K_3(T_3) \varepsilon^{(3)} = K_3^+(T_3) \varepsilon_{xx}^{(3)} + K_3^-(T_3) (\varepsilon_{yy}^{(3)} + \varepsilon_{zz}^{(3)}),$$

$$\begin{aligned}
\sigma_{xx}^{(3)\omega} &= 2G_3(T_3)\vartheta_{xx}^{(3)}\omega^{(3)} + 3K_3(T_3)\alpha_{03}\Delta T_3 = \\
&= \frac{2}{3}G_3(T_3)(2\varepsilon_{xx}^{(3)} - \varepsilon_{yy}^{(3)} - \varepsilon_{zz}^{(3)})\omega^{(3)} + 3K_3(T_3)\alpha_{03}\Delta T_3, \\
\sigma_{yy}^{(3)} &= \sigma_{yy}^{(3)0} - \sigma_{yy}^{(3)\omega}, \\
\sigma_{yy}^{(3)0} &= 2G_3(T_3)\vartheta_{yy}^{(3)} + 3K_3(T_3)\varepsilon^{(3)} = K_3^+(T_3)\varepsilon_{yy}^{(3)} + K_3^-(T_3)\varepsilon_{xx}^{(3)} + K_3^-(T_3)\varepsilon_{zz}^{(3)}, \\
\sigma_{yy}^{(3)\omega} &= 2G_3(T_3)\vartheta_{yy}^{(3)}\omega^{(3)} + 3K_3(T_3)\alpha_{03}\Delta T_3 = \\
&= \frac{2}{3}G_3(T_3)(2\varepsilon_{yy}^{(3)} - \varepsilon_{xx}^{(3)} - \varepsilon_{zz}^{(3)})\omega^{(3)} + 3K_3(T_3)\alpha_{03}\Delta T_3, \\
\sigma_{zz}^{(3)} &= \sigma_{zz}^{(3)0} - \sigma_{zz}^{(3)\omega}, \\
\sigma_{zz}^{(3)0} &= 2G_3(T_3)\vartheta_{zz}^{(3)} + 3K_3(T_3)\varepsilon^{(3)} = K_3^+(T_3)\varepsilon_{zz}^{(3)} + K_3^-(T_3)(\varepsilon_{xx}^{(3)} + \varepsilon_{yy}^{(3)}), \\
\sigma_{zz}^{(3)\omega} &= 2G_3(T_3)\vartheta_{zz}^{(3)}\omega^{(3)} + 3K_3(T_3)\alpha_{03}\Delta T_3 = \\
&= \frac{2}{3}G_3(T_3)(2\varepsilon_{zz}^{(3)} - \varepsilon_{xx}^{(3)} - \varepsilon_{yy}^{(3)})\omega^{(3)} + 3K_3(T_3)\alpha_{03}\Delta T_3, \\
\sigma_{xy}^{(3)} &= \sigma_{xy}^{(3)0} - \sigma_{xy}^{(3)\omega}, \quad \sigma_{xy}^{(3)0} = 2G_3(T_3)\vartheta_{xy}^{(3)} = 2G_3(T_3)\varepsilon_{xy}^{(3)}, \\
\sigma_{xy}^{(3)\omega} &= 2G_3(T_3)\vartheta_{xy}^{(3)}\omega^{(3)} = 2G_3(T_3)\varepsilon_{xy}^{(3)}\omega^{(3)}, \\
\sigma_{xz}^{(3)} &= \sigma_{xz}^{(3)0} - \sigma_{xz}^{(3)\omega}, \quad \sigma_{xz}^{(3)0} = 2G_3(T_3)\vartheta_{xz}^{(3)} = 2G_3(T_3)\varepsilon_{xz}^{(3)}, \\
\sigma_{xz}^{(3)\omega} &= 2G_3(T_3)\vartheta_{xz}^{(3)}\omega^{(3)} = 2G_3(T_3)\varepsilon_{xz}^{(3)}\omega^{(3)}, \\
\sigma_{yz}^{(3)} &= \sigma_{yz}^{(3)0} - \sigma_{yz}^{(3)\omega}, \quad \sigma_{yz}^{(3)0} = 2G_3(T_3)\vartheta_{yz}^{(3)} = 2G_3(T_3)\varepsilon_{yz}^{(3)}, \\
\sigma_{yz}^{(3)\omega} &= 2G_3(T_3)\vartheta_{yz}^{(3)}\omega^{(3)} = 2G_3(T_3)\varepsilon_{yz}^{(3)}\omega^{(3)}, \\
K_k^+(T_k) &= K_k(T_k) + \frac{4}{3}G_k(T_k), \quad K_k^-(T_k) = K_k(T_k) - \frac{2}{3}G_k(T_k) \quad (3)
\end{aligned}$$

где  $\omega^{(k)} \equiv \omega^{(k)}(\varepsilon_u^{(k)})$  – универсальные функции нелинейности материалов слоев, определяемые экспериментально.

Аналогичную операцию проведем и с внутренними усилиями, получим ( $k=1,2,3$ ):

$$\begin{aligned}
N_{xx}^{(k)} &= N_{xx}^{(k)0} - N_{xx}^{(k)\omega}, \quad N_{yy}^{(k)} = N_{yy}^{(k)0} - N_{yy}^{(k)\omega}, \quad M_{xx}^{(k)} = M_{xx}^{(k)0} - M_{xx}^{(k)\omega}, \\
M_{yy}^{(k)} &= M_{yy}^{(k)0} - M_{yy}^{(k)\omega}, \quad M_{xy}^{(k)} = M_{xy}^{(k)0} - M_{xy}^{(k)\omega}, \quad Q_{xy}^{(k)} = Q_{xy}^{(k)0} - Q_{xy}^{(k)\omega}, \\
N_{zz}^{(3)} &= N_{zz}^{(3)0} - N_{zz}^{(3)\omega}, \quad M_{xz}^{(3)} = M_{xz}^{(3)0} - M_{xz}^{(3)\omega}, \quad M_{yz}^{(3)} = M_{yz}^{(3)0} - M_{yz}^{(3)\omega}, \\
Q_{xz}^{(3)} &= Q_{xz}^{(3)0} - Q_{xz}^{(3)\omega}, \quad Q_{yz}^{(3)} = Q_{yz}^{(3)0} - Q_{yz}^{(3)\omega}. \quad (4)
\end{aligned}$$

Обобщенные усилия с помощью соотношений (2) также разобьем на линейные и нелинейные составляющие:

$$\begin{aligned}
H_{1x} &= H_{1x}^0 - H_{1x}^\omega, \quad H_{1x}^0 = \frac{Q_{xz}^{(3)0}}{2c}, \quad H_{1x}^\omega = \frac{Q_{xz}^{(3)\omega}}{2c}, \\
H_{1y} &= H_{1y}^0 - H_{1y}^\omega, \quad H_{1y}^0 = \frac{Q_{yz}^{(3)0}}{2c}, \quad H_{1y}^\omega = \frac{Q_{yz}^{(3)\omega}}{2c}, \\
H_2 &= H_2^0 - H_2^\omega, \quad H_2^0 = \frac{N_{zz}^{(3)0}}{2c}, \quad H_2^\omega = \frac{N_{zz}^{(3)\omega}}{2c}, \\
P_{1x} &= P_{1x}^0 - P_{1x}^\omega, \quad P_{1x}^0 = \frac{N_{xx}^{(3)0}}{2} + \frac{M_{xx}^{(3)0}}{2c} + N_{xx}^{(1)0}, \quad P_{1x}^\omega = \frac{N_{xx}^{(3)\omega}}{2} + \frac{M_{xx}^{(3)\omega}}{2c} + N_{xx}^{(1)\omega}, \\
P_{2x} &= P_{2x}^0 - P_{2x}^\omega, \quad P_{2x}^0 = \frac{N_{xx}^{(3)0}}{2} - \frac{M_{xx}^{(3)0}}{2c} + N_{xx}^{(2)0}, \quad P_{2x}^\omega = \frac{N_{xx}^{(3)\omega}}{2} - \frac{M_{xx}^{(3)\omega}}{2c} + N_{xx}^{(2)\omega}, \\
P_{1y} &= P_{1y}^0 - P_{1y}^\omega, \quad P_{1y}^0 = \frac{N_{yy}^{(3)0}}{2} + \frac{M_{yy}^{(3)0}}{2c} + N_{yy}^{(1)0}, \quad P_{1y}^\omega = \frac{N_{yy}^{(3)\omega}}{2} + \frac{M_{yy}^{(3)\omega}}{2c} + N_{yy}^{(1)\omega},
\end{aligned}$$

$$\begin{aligned}
P_{2y} &= P_{2y}^0 - P_{2y}^\omega, & P_{2y}^0 &= \frac{N_{yy}^{(3)0}}{2} - \frac{M_{yy}^{(3)0}}{2c} + N_{yy}^{(2)0}, & P_{2y}^\omega &= \frac{N_{yy}^{(3)\omega}}{2} - \frac{M_{yy}^{(3)\omega}}{2c} + N_{yy}^{(2)\omega}, \\
V_1 &= V_1^0 - V_1^\omega, & V_1^0 &= \frac{Q_{xy}^{(3)0}}{2} + \frac{M_{xy}^{(3)0}}{2c} + Q_{xy}^{(1)0}, & V_1^\omega &= \frac{Q_{xy}^{(3)\omega}}{2} + \frac{M_{xy}^{(3)\omega}}{2c} + Q_{xy}^{(1)\omega}, \\
V_2 &= V_2^0 - V_2^\omega, & V_2^0 &= \frac{Q_{xy}^{(3)0}}{2} - \frac{M_{xy}^{(3)0}}{2c} + Q_{xy}^{(2)0}, & V_2^\omega &= \frac{Q_{xy}^{(3)\omega}}{2} - \frac{M_{xy}^{(3)\omega}}{2c} + Q_{xy}^{(2)\omega}, \\
S_{1x} &= S_{1x}^0 - S_{1x}^\omega, & S_{1x}^0 &= \left( c + \frac{h_1}{2} \right) N_{xx}^{(1)0} - M_{xx}^{(1)0} + \frac{h_1}{4} N_{xx}^{(3)0} + \frac{h_1}{4c} M_{xx}^{(3)0}, \\
& & S_{1x}^\omega &= \left( c + \frac{h_1}{2} \right) N_{xx}^{(1)\omega} - M_{xx}^{(1)\omega} + \frac{h_1}{4} N_{xx}^{(3)\omega} + \frac{h_1}{4c} M_{xx}^{(3)\omega}, \\
S_{2x} &= S_{2x}^0 - S_{2x}^\omega, & S_{2x}^0 &= - \left( c + \frac{h_2}{2} \right) N_{xx}^{(2)0} - M_{xx}^{(2)0} - \frac{h_2}{4} N_{xx}^{(3)0} + \frac{h_2}{4c} M_{xx}^{(3)0}, \\
& & S_{2x}^\omega &= - \left( c + \frac{h_2}{2} \right) N_{xx}^{(2)\omega} - M_{xx}^{(2)\omega} - \frac{h_2}{4} N_{xx}^{(3)\omega} + \frac{h_2}{4c} M_{xx}^{(3)\omega}, \\
S_{1y} &= S_{1y}^0 - S_{1y}^\omega, & S_{1y}^0 &= \left( c + \frac{h_1}{2} \right) N_{yy}^{(1)0} - M_{yy}^{(1)0} + \frac{h_1}{4} N_{yy}^{(3)0} + \frac{h_1}{4c} M_{yy}^{(3)0}, \\
& & S_{1y}^\omega &= \left( c + \frac{h_1}{2} \right) N_{yy}^{(1)\omega} - M_{yy}^{(1)\omega} + \frac{h_1}{4} N_{yy}^{(3)\omega} + \frac{h_1}{4c} M_{yy}^{(3)\omega}, \\
S_{2y} &= S_{2y}^0 - S_{2y}^\omega, & S_{2y}^0 &= - \left( c + \frac{h_2}{2} \right) N_{yy}^{(2)0} - M_{yy}^{(2)0} - \frac{h_2}{4} N_{yy}^{(3)0} + \frac{h_2}{4c} M_{yy}^{(3)0}, \\
& & S_{2y}^\omega &= - \left( c + \frac{h_2}{2} \right) N_{yy}^{(2)\omega} - M_{yy}^{(2)\omega} - \frac{h_2}{4} N_{yy}^{(3)\omega} + \frac{h_2}{4c} M_{yy}^{(3)\omega}, \\
T_{1x} &= T_{1x}^0 - T_{1x}^\omega, & T_{1x}^0 &= \left( 1 + \frac{h_1}{2c} \right) \frac{Q_{xz}^{(3)0}}{2} + \frac{M_{xz}^{(3)0}}{2c}, & T_{1x}^\omega &= \left( 1 + \frac{h_1}{2c} \right) \frac{Q_{xz}^{(3)\omega}}{2} + \frac{M_{xz}^{(3)\omega}}{2c}, \\
T_{2x} &= T_{2x}^0 - T_{2x}^\omega, & T_{2x}^0 &= \left( 1 + \frac{h_2}{2c} \right) \frac{Q_{xz}^{(3)0}}{2} - \frac{M_{xz}^{(3)0}}{2c}, & T_{2x}^\omega &= \left( 1 + \frac{h_2}{2c} \right) \frac{Q_{xz}^{(3)\omega}}{2} - \frac{M_{xz}^{(3)\omega}}{2c}, \\
T_{1y} &= T_{1y}^0 - T_{1y}^\omega, & T_{1y}^0 &= \left( 1 + \frac{h_1}{2c} \right) \frac{Q_{yz}^{(3)0}}{2} + \frac{M_{yz}^{(3)0}}{2c}, & T_{1y}^\omega &= \left( 1 + \frac{h_1}{2c} \right) \frac{Q_{yz}^{(3)\omega}}{2} + \frac{M_{yz}^{(3)\omega}}{2c}, \\
T_{2y} &= T_{2y}^0 - T_{2y}^\omega, & T_{2y}^0 &= \left( 1 + \frac{h_2}{2c} \right) \frac{Q_{yz}^{(3)0}}{2} - \frac{M_{yz}^{(3)0}}{2c}, & T_{2y}^\omega &= \left( 1 + \frac{h_2}{2c} \right) \frac{Q_{yz}^{(3)\omega}}{2} - \frac{M_{yz}^{(3)\omega}}{2c}, \\
U_1 &= U_1^0 - U_1^\omega, & U_1^0 &= (2c + h_1) Q_{xy}^{(1)0} - 2M_{xy}^{(1)0} + \frac{h_1}{4} Q_{xy}^{(3)0} + \frac{h_1}{2c} M_{xy}^{(3)0}, \\
& & U_1^\omega &= (2c + h_1) Q_{xy}^{(1)\omega} - 2M_{xy}^{(1)\omega} + \frac{h_1}{4} Q_{xy}^{(3)\omega} + \frac{h_1}{2c} M_{xy}^{(3)\omega}, \\
U_2 &= U_2^0 - U_2^\omega, & U_2^0 &= (2c + h_2) Q_{xy}^{(2)0} + 2M_{xy}^{(2)0} + \frac{h_2}{4} Q_{xy}^{(3)0} - \frac{h_2}{2c} M_{xy}^{(3)0}, \\
& & U_2^\omega &= (2c + h_2) Q_{xy}^{(2)\omega} + 2M_{xy}^{(2)\omega} + \frac{h_2}{4} Q_{xy}^{(3)\omega} - \frac{h_2}{2c} M_{xy}^{(3)\omega}.
\end{aligned} \tag{5}$$

Входящие в (5) линейные (с индексом «0») и нелинейные (с индексом « $\omega$ ») составляющие внутренних усилий вычисляются через напряжения и деформации по формулам (3).

Система уравнений равновесия в обобщенных усилиях и соответствующие силовые граничные условия по виду совпадают с уравнениями, полученными в [7]:

$$\begin{aligned}
H_{1x}^0 - V_{1,y}^0 - P_{1x,x}^0 &= p_x + H_{1x}^\omega - V_{1,y}^\omega - P_{1x,x}^\omega, \\
H_{1x}^0 + V_{2,y}^0 + P_{2x,x}^0 &= H_{1x}^\omega + V_{2,y}^\omega + P_{2x,x}^\omega,
\end{aligned}$$

$$\begin{aligned}
H_{1y}^0 - V_{1,x}^0 - P_{1y,y}^0 &= p_y + H_{1y}^\omega - V_{1,x}^\omega - P_{1y,y}^\omega, \\
H_{1y}^0 + V_{2,x}^0 + P_{2y,y}^0 &= H_{1y}^\omega + V_{2,x}^\omega + P_{2y,y}^\omega, \\
S_{1x,xx}^0 + H_2^0 - T_{1x,x}^0 - U_{1,xy}^0 + S_{1y,yy}^0 - T_{1y,y}^0 &= q + \frac{p_{x,y} h_1}{2} + \frac{p_{y,y} h_1}{2} + S_{1x,xx}^\omega + H_2^\omega - T_{1x,x}^\omega - U_{1,xy}^\omega + S_{1y,yy}^\omega - T_{1y,y}^\omega, \\
S_{2x,xx}^0 - H_2^0 - T_{2x,x}^0 - U_{2,xy}^0 + S_{2y,yy}^0 - T_{2y,y}^0 &= S_{2x,xx}^\omega - H_2^\omega - T_{2x,x}^\omega - U_{2,xy}^\omega + S_{2y,yy}^\omega - T_{2y,y}^\omega. \quad (6)
\end{aligned}$$

С силовыми граничными условиями поступим аналогично, т.е. при  $x=0, l_x$  должны выполняться требования:

$$\begin{aligned}
P_{1x}^0 &= N_{rx}^{(1)} + P_{1x}^\omega, \quad P_{2x}^0 = N_{rx}^{(2)} + P_{2x}^\omega, \quad V_1^0 = Q_{xy}^{(1)} + V_1^\omega, \quad V_2^0 = Q_{xy}^{(2)} + V_2^\omega, \\
T_{1x}^0 - S_{1x,x}^0 - U_{1,y}^0 &= Q_{rx}^{(1)} + (T_{1x}^\omega - S_{1x,x}^\omega - U_{1,y}^\omega), \\
T_{2x}^0 - S_{2x,x}^0 - U_{2,y}^0 &= Q_{rx}^{(2)} + (T_{2x}^\omega - S_{2x,x}^\omega - U_{2,y}^\omega), \quad S_{1x}^0 = M_{rx}^{(1)} + S_{1x}^\omega, \quad S_{2x}^0 = M_{rx}^{(2)} + S_{2x}^\omega.
\end{aligned}$$

При  $y=0, l_y$

$$\begin{aligned}
P_{1y}^0 &= N_{sy}^{(1)} + P_{1y}^\omega, \quad P_{2y}^0 = N_{sy}^{(2)} + P_{2y}^\omega, \quad V_1^0 = Q_{xy}^{(1)} + V_1^\omega, \quad V_2^0 = Q_{xy}^{(2)} + V_2^\omega, \\
T_{1y}^0 - S_{1y,y}^0 &= Q_{sy}^{(1)} + (T_{1y}^\omega - S_{1y,y}^\omega), \quad T_{2y}^0 - S_{2y,y}^0 = Q_{sy}^{(2)} + (T_{2y}^\omega - S_{2y,y}^\omega), \\
S_{1y}^0 &= M_{sy}^{(1)} + S_{1y}^\omega, \quad S_{2y}^0 = M_{sy}^{(2)} + S_{2y}^\omega, \quad U_1^0 = Q_{xy}^{(1)} + U_1^\omega, \quad U_2^0 = Q_{xy}^{(2)} + U_2^\omega. \quad (7)
\end{aligned}$$

Здесь  $N_{rx}^{(1)}$ ,  $Q_{xy}^{(1)}$ ,  $Q_{rx}^{(1)}$ ,  $M_{rx}^{(1)}$ ,  $N_{ry}^{(1)}$ ,  $Q_{xy}^{(1)}$ ,  $Q_{ry}^{(1)}$ ,  $M_{ry}^{(1)}$  – заданные усилия на торцах пластины в первом несущем слое (с индексом «2» – во втором несущем слое). Индекс  $r$  принимает значения  $0, l_x$ , индекс  $s$  –  $0, l_y$ , указывая, на каком конце пластины задано усилие.

Выразим внутренние усилия (4) через искомые перемещения  $u_{1x}$ ,  $u_{1y}$ ,  $u_{2x}$ ,  $u_{2y}$ ,  $w_1$ ,  $w_2$  и подставим в систему уравнений равновесия (6). Получим систему дифференциальных уравнений равновесия в перемещениях, описывающая изгиб упругопластической пластины в температурном поле. Данная система имеет вид аналогичный системе уравнений равновесия, полученной в [8]. При ее решении был использован метод «упругих решений» А.А. Ильюшина [9]. Система примет вид:

$$\begin{aligned}
& a_1 u_{1x}^n - a_1 u_{2x}^n - a_4 u_{1x,xx}^n - a_5 u_{2x,xx}^n - a_{19} u_{1x,yy}^n - a_{18} u_{2x,yy}^n - a_{21} u_{1y,xy}^n - a_{23} u_{2y,xy}^n + a_2 w_1^n + \\
& + a_3 w_2^n - 2a_{24} w_1^n + a_{25} w_2^n - 2a_6 w_1^n + a_7 w_2^n = p_x + p_\omega^{n-1}, \\
& -a_1 u_{1x}^n + a_1 u_{2x}^n - a_5 u_{1x,xx}^n - a_9 u_{2x,xx}^n - a_{18} u_{1x,yy}^n - a_{20} u_{2x,yy}^n - a_{23} u_{1y,xy}^n - a_{22} u_{2y,xy}^n - a_{10} w_1^n - \\
& - a_{17} w_2^n - a_{24} w_1^n + 2a_{25} w_2^n - a_6 w_1^n + 2a_7 w_2^n = s_\omega^{n-1}, \\
& a_1 u_{1y}^n - a_1 u_{2y}^n - a_4 u_{1y,yy}^n - a_5 u_{2y,yy}^n - a_{19} u_{1y,xx}^n - a_{18} u_{2y,xx}^n - a_{21} u_{1x,xy}^n - a_{23} u_{2x,xy}^n + a_2 w_1^n + \\
& + a_3 w_2^n - 2a_{24} w_1^n + a_{25} w_2^n - 2a_6 w_1^n + a_7 w_2^n = p_y + h_\omega^{n-1}, \\
& -a_1 u_{1y}^n + a_1 u_{2y}^n - a_5 u_{1y,yy}^n - a_9 u_{2y,yy}^n - a_{18} u_{1y,xx}^n - a_{20} u_{2y,xx}^n - a_{23} u_{1x,xy}^n - a_{22} u_{2x,xy}^n - a_{10} w_1^n - \\
& - a_{17} w_2^n - a_{24} w_1^n + 2a_{25} w_2^n - a_6 w_1^n + 2a_7 w_2^n = r_\omega^{n-1}, \\
& -a_2 u_{1x,xx}^n - a_2 u_{1y,yy}^n + a_{10} u_{2x,xx}^n + a_{10} u_{2y,yy}^n + 2a_6 u_{1x,xxx}^n + a_6 u_{2x,xxx}^n + 2a_6 u_{1y,yyy}^n + a_6 u_{2y,yyy}^n + \\
& + 2a_{24} u_{1x,xyy}^n + a_{24} u_{2x,xyy}^n + 2a_{24} u_{1y,xyx}^n + a_{24} u_{2y,xyx}^n + a_{11} w_1^n + a_{11} w_2^n - a_{12} w_2^n - \\
& - a_{12} w_2^n + a_{15} w_1^n + a_{15} w_2^n - a_{16} w_2^n - a_{16} w_2^n + a_{26} w_1^n - a_{28} w_2^n +
\end{aligned}$$

$$\begin{aligned}
& +a_8 w_1^n - a_8 w_2^n = q + \frac{p_{x,x} h_1}{2} + \frac{p_{y,y} h_1}{2} + q_\omega^{n-1}, \\
& -a_3 u_{1y,y}^n - a_3 u_{1x,x}^n + a_{17} u_{2y,y}^n + a_{17} u_{2x,x}^n - a_7 u_{1y,yyy}^n - a_7 u_{1x,xxx}^n - 2a_7 u_{2y,yyy}^n - 2a_7 u_{2x,xxx}^n - \\
& -2a_{27} u_{2y,xyy}^n - a_{25} u_{1y,xyy}^n - 2a_{25} u_{2x,xyy}^n - a_{25} u_{1x,xyy}^n - a_{12} w_1^n - a_{12} w_1^n + a_{14} w_2^n + \\
& + a_{14} w_2^n - a_{16} w_1^n - a_{16} w_1^n + a_{13} w_2^n + a_{13} w_2^n - a_{28} w_1^n + a_{27} w_2^n - \\
& -a_8 w_1^n + a_8 w_2^n = g_\omega^{n-1}, \tag{8}
\end{aligned}$$

где  $n$  – номер приближения;

$p_\omega^{n-1}$ ,  $s_\omega^{n-1}$ ,  $h_\omega^{n-1}$ ,  $r_\omega^{n-1}$ ,  $q_\omega^{n-1}$ ,  $g_\omega^{n-1}$  – величины, которые вычисляются по формулам, аналогичным [8]:

$$\begin{aligned}
p_\omega^{n-1} &= H_{1x}^{\omega(n-1)} - V_1^{\omega(n-1)} - P_{1x}^{\omega(n-1)}, & s_\omega^{n-1} &= H_{1x}^{\omega(n-1)} + V_2^{\omega(n-1)} + P_{2x}^{\omega(n-1)}, \\
h_\omega^{n-1} &= H_{1y}^{\omega(n-1)} - V_1^{\omega(n-1)} - P_{1y}^{\omega(n-1)}, & r_\omega^{n-1} &= H_{1y}^{\omega(n-1)} + V_2^{\omega(n-1)} + P_{2y}^{\omega(n-1)}, \\
q_\omega^{n-1} &= S_{1x}^{\omega(n-1)} + H_2^{\omega(n-1)} - T_{1x}^{\omega(n-1)} - U_1^{\omega(n-1)} + S_{1y}^{\omega(n-1)} - T_{1y}^{\omega(n-1)}, \\
g_\omega^{n-1} &= S_{2x}^{\omega(n-1)} - H_2^{\omega(n-1)} - T_{2x}^{\omega(n-1)} - U_2^{\omega(n-1)} + S_{2y}^{\omega(n-1)} - T_{2y}^{\omega(n-1)}. \tag{9}
\end{aligned}$$

Решение системы дифференциальных уравнений получим методом Бубнова–Галеркина, который предполагает разложение искомым перемещений и внешних нагрузок в ряды по системам базисных функций. Тогда искомые перемещения выражаются следующим образом

$$\begin{aligned}
u_{kx} &= \sum_{p,m=0}^{\infty} U_{kxpm}^n \Psi_{xpm}(x, y), & u_{ky} &= \sum_{p,m=0}^{\infty} U_{kypm}^n \Psi_{ypm}(x, y), \\
w_k &= \sum_{p,m=0}^{\infty} W_{kpm}^n \Psi_{zpm}(x, y), \tag{10}
\end{aligned}$$

где  $U_{kxpm}^n$ ,  $U_{kypm}^n$ ,  $W_{kpm}^n$  – неизвестные амплитуды перемещений на  $n$ -м шаге ( $k=1, 2$ );

$\Psi_{xpm}$ ,  $\Psi_{ypm}$ ,  $\Psi_{zpm}$  – системы базисных ортогональных функций, удовлетворяющие граничным условиям.

Внешние нагрузки

$$\begin{aligned}
p_\omega^{n-1} &= \sum_{p,m=0}^{\infty} p_{\omega pm}^{n-1} \Psi_{xpm}(x, y), & s_\omega^{n-1} &= \sum_{p,m=0}^{\infty} s_{\omega pm}^{n-1} \Psi_{xpm}(x, y), \\
h_\omega^{n-1} &= \sum_{p,m=0}^{\infty} h_{\omega pm}^{n-1} \Psi_{ypm}(x, y), & r_\omega^{n-1} &= \sum_{p,m=0}^{\infty} r_{\omega pm}^{n-1} \Psi_{ypm}(x, y), & q_\omega^{n-1} &= \sum_{p,m=0}^{\infty} q_{\omega pm}^{n-1} \Psi_{zpm}(x, y), \\
g_\omega^{n-1} &= \sum_{p,m=0}^{\infty} g_{\omega pm}^{n-1} \Psi_{zpm}(x, y), \\
q &= \sum_{p,m=0}^{\infty} q_{pm} \Psi_{zpm}(x, y). \tag{11}
\end{aligned}$$

После подстановки перемещений (10), нагрузок и дополнительных усилий (11) в систему (8) получим следующую систему линейных алгебраических уравнений для нахождения искомым амплитуд перемещений  $U_{1xpm}^n$ ,  $U_{2xpm}^n$ ,  $U_{1ypm}^n$ ,  $U_{2ypm}^n$ ,  $W_{1pm}^n$ ,  $W_{2pm}^n$ , совпадающих:

$$\begin{aligned}
b_1 U_{1xpm}^n + b_2 U_{2xpm}^n + b_{11} U_{1ypm}^n + b_{12} U_{2ypm}^n + b_3 W_{1pm}^n + b_4 W_{2pm}^n &= p_{\omega pm}^{n-1}, \\
b_2 U_{1xpm}^n + b_5 U_{2xpm}^n + b_{12} U_{1ypm}^n + b_{13} U_{2ypm}^n + b_6 W_{1pm}^n + b_7 W_{2pm}^n &= s_{\omega pm}^{n-1}, \\
b_{11} U_{1xpm}^n + b_{12} U_{2xpm}^n + b_{14} U_{1ypm}^n + b_{15} U_{2ypm}^n + b_{16} W_{1pm}^n + b_{17} W_{2pm}^n &= h_{\omega pm}^{n-1}, \\
b_{12} U_{1xpm}^n + b_{13} U_{2xpm}^n + b_{15} U_{1ypm}^n + b_{18} U_{2ypm}^n + b_{19} W_{1pm}^n + b_{20} W_{2pm}^n &= r_{\omega pm}^{n-1},
\end{aligned}$$

$$b_3 U_{1xpm}^n + b_6 U_{2xpm}^n + b_{16} U_{1ypm}^n + b_{19} U_{2ypm}^n + b_8 W_{1pm}^n + b_9 W_{2pm}^n = q_{pm} + q_{\text{орт}}^{n-1},$$

$$b_4 U_{1xpm}^n + b_7 U_{2xpm}^n + b_{17} U_{1ypm}^n + b_{20} U_{2ypm}^n + b_9 W_{1pm}^n + b_{10} W_{2pm}^n = g_{\text{орт}}^{n-1}.$$

Коэффициенты  $b_i$  вычисляются через величины  $a_i$ , зависят от температуры, параметров  $p$  и  $m$ .

**Вывод.** Полученное в работе аналитическое решение позволяет исследовать деформирование физически нелинейных трехслойных прямоугольных пластин при действии термосиловых нагрузок.

#### ЛИТЕРАТУРА

1. Starovoitov, É. I. *Vibrations of round three-layer plates under the action of various types of surface loads* / É. I. Starovoitov, A.V. Yarovaya, D. V. Leonenko // *Strength of materials*. – 2003. – Vol. 35, № 4. – P. 346–352 DOI: 10.1023/A:1025834123302.
2. Старовойтов, Э.И. Импульсные локальные нагружения круговых трехслойных пластин / Э.И. Старовойтов, Д.В. Леоненко, А.В. Яровая // *Прикладная механика*. – 2003. – 39, № 8. – С. 86 – 94.
3. Starovoitov, É.I. *Thermoelastic bending of a sandwich ring plate on an elastic foundation* / É.I. Starovoitov, D.V. Leonenko // *International Applied Mechanics*. – 2008. – Vol. 44, № 9. – P. 1032–1040. DOI: 10.1007/s10778-009-0115-9.
4. Леоненко Д.В. Свободные колебания круговых трехслойных пластин на упругом основании // *Экологический вестник научных центров Черноморского экономического сотрудничества*. – 2008. – №3. – С. 42–47.
5. Леоненко, Д.В. Колебания круговых трехслойных пластин на упругом основании Пастернака / Д. В. Леоненко // *Экологический вестник научных центров Черноморского экономического сотрудничества*. – 2014. – № 1. – С. 59–63.
6. Старовойтов, Э.И. Деформирование трехслойного упругого стержня локальными нагрузками / Э.И. Старовойтов, А.В. Яровая, Д.В. Леоненко // *Проблемы машиностроения и автоматизации (Москва)*. – 2001. – № 4. – С. 37–40.
7. Леоненко, Д. В. Упругопластический изгиб прямоугольной трехслойной пластины со сжимаемым заполнителем / Д. В. Леоненко, А. С. Зеленая // *Теоретическая и прикладная механика: междунар. научн.-техн. сб.* – Минск : БНТУ, 2018. – Вып. 33. – С.65–71.
8. Леоненко, Д. В. Напряженно-деформированное состояние физически нелинейной трехслойной прямоугольной пластины со сжимаемым заполнителем / Д. В. Леоненко, А. С. Зеленая // *Механика машин, механизмов и материалов*. – 2018. – № 2(43). – С. 77–82.
9. Ильюшин, А.А. Упругопластические деформации полых цилиндров / А. А. Ильюшин, П. М. Огибалов. – М.: Изд-во МГУ, 1960. – 224 с.